

UNIVERSIDADE FEDERAL DE SANTA MARIA

CENTRO DE TECNOLOGIA

ELC1048 - PROJETOS DE SISTEMAS EMBARCADOS

Professor: Carlos Henrique Barriquelo



RELATÓRIO DE PROJETO DE SISTEMAS EMBARCADOS

Data: 12/07/2023

Curso: Engenharia de Computação

Grupo:

- Daniel Youssef de Hollanda Lopes
 - Davi Sehnem Castro
 - Diego Henrique Nyland
 - Gabriel Scaramussa
 - Guilherme Ribeiro Silveira
 - Leonardo Mello Foletto
 - Lucas Rocha Alberti
 - Meryane Fernandes Machado
-

DISPOSITIVO IOT PARA COLETA DE DADOS DE TEMPERATURA, LUMINOSIDADE E ACELERAÇÃO

Resumo

Neste relatório, será mostrado o processo de portabilidade para a plataforma *SAM R21 Explorer Pro*, de um projeto de redes de sensores sem fio, composta por um sensor de temperatura, luminosidade, e um sensor de orientação, desenvolvido com base no protocolo *OpenThread*. O sistema deve permitir o monitoramento do estado de conexão da rede, dos sensores e da taxa de entrega das mensagens.

Palavras-chave: *sistemas embarcados, portabilidade, OpenThread, sensores.*

1. INTRODUÇÃO

Os sistemas embarcados são dispositivos eletrônicos integrados em outros sistemas e desempenham um papel crucial na era da Internet das Coisas (IoT). Com o avanço da IoT, os sistemas embarcados se tornaram essenciais para a conectividade e comunicação entre dispositivos e sistemas. Esses sistemas possibilitam a troca de dados e informações em tempo real, facilitando a interconexão de dispositivos e a criação de redes inteligentes. Eles são responsáveis por processar e transmitir informações de forma eficiente, permitindo a automação de processos e a tomada de decisões inteligentes.

Assim, foi proposto o desenvolvimento de uma aplicação de rede de sensores sem fio (IoT) com base no projeto OpenThread. Por se tratar de um trabalho de grande porte foram divididas duas equipes onde a primeira chamada de equipe APP, responsável pela implementação na camada de Software e Aplicação e a equipe HAL responsável pela camada de abstração de hardware, sendo esta última o foco deste relatório.

Este relatório aborda o desenvolvimento de uma aplicação de rede de sensores sem fio (IoT) com base no projeto OpenThread. Foram formadas duas equipes: a equipe APP, responsável pela camada de Software e Aplicação, e a equipe HAL, focada na camada de abstração de hardware. Este relatório se concentra nas contribuições da equipe HAL, que desenvolveu drivers e bibliotecas para o projeto.

O objetivo do projeto é o desenvolvimento de uma aplicação de rede de sensores sem fio (IoT) com base no projeto OpenThread (equipe APP) e portabilidade do projeto para a plataforma SAM R21 Xplorer Pro (equipe HAL).

A implementação deste protocolo é feita para a comunicação através da internet entre duas placas SAM R21. Uma delas é conectada aos kits de extensão “I01-XPRO”, que possui um sensores de temperatura (AT30TS75A-SS8M-T) e um de luminosidade (TEMT6000), e ao kit “BNO055 XPLAINED PRO”, que possui um sensores de orientação. Esta placa age como um transmissor dos sinais coletados dos periféricos. O outro age como um receptor destes sinais, e realiza o processamento para a visualização pelo usuário.

Por fim, este relatório apresenta o que foi realizado pela equipe HAL, quais objetivos foram alcançados, quais as limitações encontradas e qual o resultado final encontrado pela equipe.

2. DESENVOLVIMENTO TEÓRICO

2.1. Objetivos:

- Realizar a portabilidade do projeto OpenThread RTOS (OTRTOS) que utiliza FreeRTOS, LwIP para o HW do laboratório (SAM R21 Xplorer Pro).
- Realizar os testes necessários pela equipe de APP para rodar a aplicação na plataforma de HW e no OT-RTOS.
- Realizar a demonstração do projeto e documentar os passos necessários para portar a aplicação: como compilar, usar, testar e executar a demonstração.

2.2. O sistema deve permitir o monitoramento:

- Do estado da rede.
- Da conexão dos dispositivos.
- Da taxa de entrega das mensagens

2.3. Tabela de materiais utilizados

- Computadores laboratório
 - Sistema Operacional: Ubuntu 18.04
- Placas de desenvolvimento:
 - [ARM SAM R21 Xplorer Pro](#)

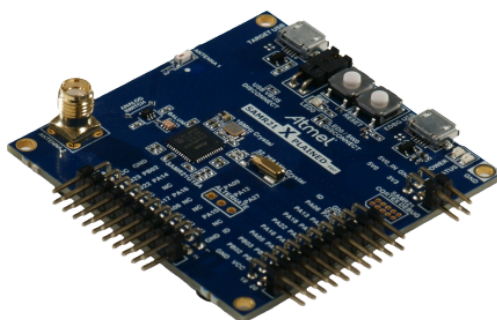


Imagem 1 - ARM SAMR21.

- Sensores
 - [Sensor Atmel 42078-IO1 Xplained-Pro](#)



Imagem 2 - Sensor IO1 Xplained Pro.

■ [Sensor Atmel BNO055-AN011 Xplained-Pro](#)



Imagem 3 - Sensor BNO055.

2.4. Aplicação dos sensores:

- IO1 Xplained Pro - Luz ambiente (TEMT6000)

O sensor consiste em um fototransistor com um resistor em seu coletor. Essencialmente, quanto maior a luminosidade do local, maior será a corrente que passa pelo transistor, gerando assim uma queda de tensão maior no resistor de coletor. Essa tensão é posteriormente lida e convertida pelo conversor analógico-digital do microcontrolador.

Abaixo visualizamos a conexão do phototransistor, retirada do datasheet do IO1 Xplained Pro:

Light Sensor

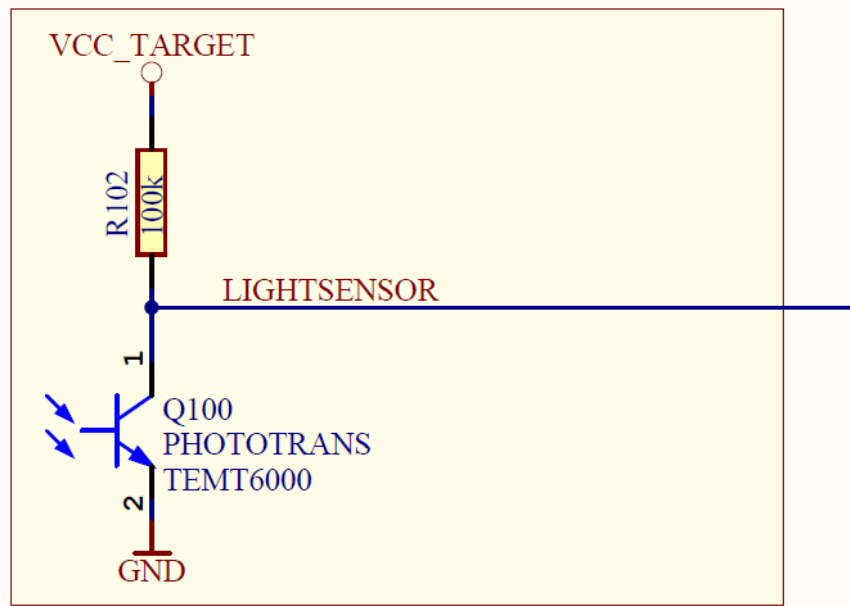


Imagem 04 - Phototransistor do IO1 Xplained Pro

A tensão $V_{cc\ target}$ utilizada será $3.3V$, que é a mesma da alimentação dos microcontroladores, conforme podemos observar na figura a seguir, retirada do *datasheet* do *SAMR21*:

Table 42-2. General Operating Conditions

Symbol	Parameter	Condition	Min.	Typ.	Max.	Units
V_{DD}	Power supply voltage	Voltage on VDDIN, VDDIO and VDDANA ⁽²⁾	1.8 ⁽¹⁾	3.3	3.6	V
$V_{DD1.8}$	Power supply voltage (on AVDD and DVDD)	External supply voltage ⁽³⁾	1.7	1.8	1.9	V
V_{DDANA}	Analog supply voltage		1.8 ⁽¹⁾	3.3	3.6	V
T_A	Temperature range		-40	25	125	°C
T_J	Junction temperature		-	-	100	°C

- Notes:
1. With BOD33 disabled. If the BOD33 is enabled, check [Table 42-17](#).
 2. Even if an implementation uses the external 1.8V voltage supply $V_{DD1.8}$ it is required to connect V_{DD} .
 3. AT86RF233 register 0x10 (VREG_CTRL) needs to be programmed to disable internal voltage regulators and supply blocks by an external 1.8V supply, refer to "Voltage Regulators (AVREG, DVREG)" on [page 983](#).

Imagem 05 - Tensão de alimentação típica do SAMR21.

Portanto, equacionando temos:

$$I_c = \frac{(V_{CC\ TARGET} - V_{LIGHTSENSOR})}{R_c} = \frac{(3.3V - V_{LIGHTSENSOR})}{100K\Omega}$$

A imagem a seguir foi retirada do datasheet do phototransistor, e representa a relação entre a corrente do coletor com a luminosidade do ambiente. Podemos aproximar a relação por:

$$Luminosidade = \frac{I_c \cdot 2lux}{1\mu A}$$

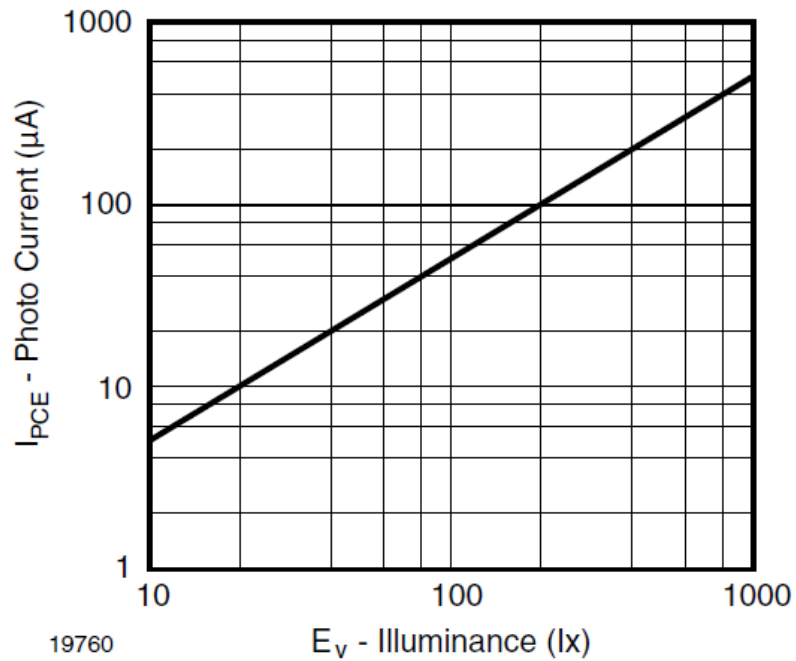


Imagem 06 - Relação lux por corrente do phototransistor

Juntando as duas equações, temos:

$$Luminosidade = \frac{(3.3V - V_{LIGHTSENSOR}) * 2 lux}{100K\Omega * 1\mu A}$$

$$Luminosidade = (3.3 - V_{LIGHTSENSOR}) * 20$$

- BNO055 Xplained Pro - Direcional

Consiste em um sensor de nove eixos, composto por um microcontrolador e três sensores individuais, sendo eles um acelerômetro, magnetômetro e um giroscópio.

O sensor também é capaz de identificar a falta ou não de movimento, e reagir de acordo, através de interrupções. Dessa forma, caso não haja movimento após determinado tempo, o sensor entra em repouso, e cessa a transmissão de dados. Quando este detecta algum movimento, é gerada uma nova interrupção que reinicia o envio dos dados do sensor. O formato padrão do envio dos dados de posição e situação de operação é mostrado na Imagem 7.

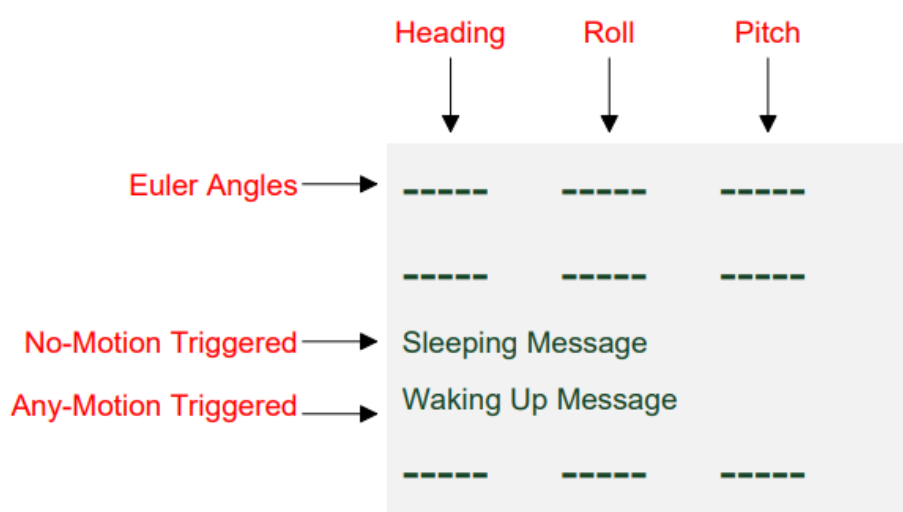


Imagem 07 - Formato padrão da visualização de dados do BNO055

3. DESENVOLVIMENTO PRÁTICO

3.1. Condicionamento dos Sensores

O primeiro sensor em que se trabalhou foi o sensor de iluminância presente no IO1 Xplained Pro. Para realizar seu condicionamento, foi utilizado o ambiente IDE, disponibilizado juntamente com o dispositivo, para gerar os códigos que permitem sua utilização, configurados com base nas especificações de pinagem fornecidas pela documentação de *design* do componente.

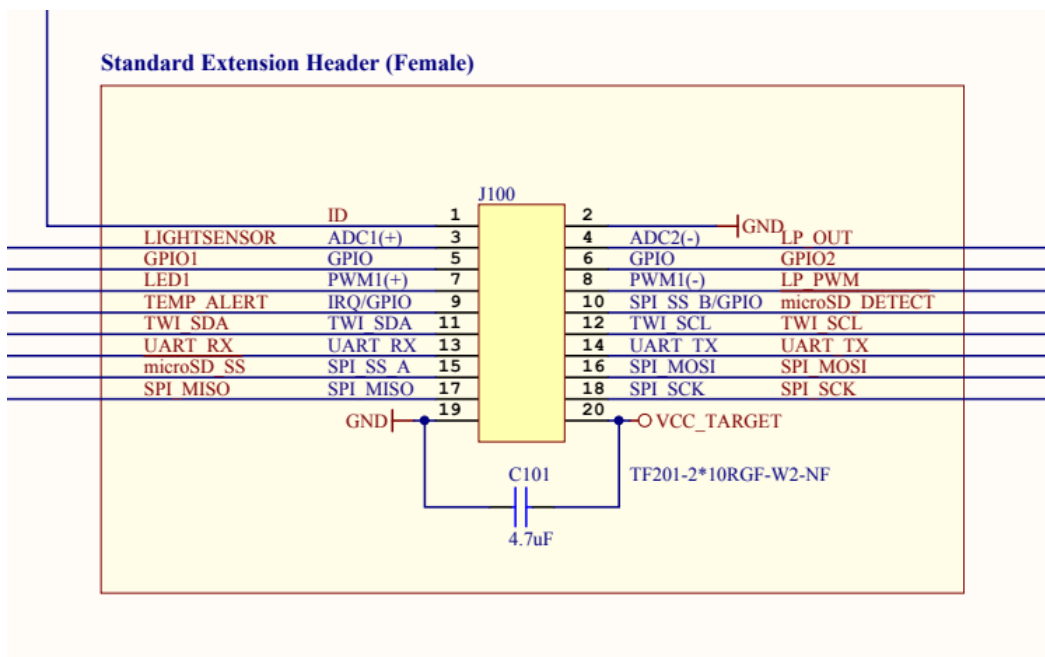


Imagem 08 - Pinagem da Documentação de *Design*

Dessa forma, configurou-se o pino PN06 do sensor como a entrada de sinal analógica do sensor de iluminância, e utiliza-se o conversor AD da placa para quantizá-lo em um sinal digital. Em código, é feita a função ‘GET_light_sensor()’ que lê o valor quantizado pelo ADC e, primeiro recalcula o valor de tensão correspondente, e então relaciona este resultado com o valor de iluminância correspondente, retornando-o ao final da operação.

A implementação do sensor de temperatura é mais complexa que a do sensor de iluminância, devido a implementação por comunicação I2C. Isso acontece pois é necessário a leitura e escrita de registradores específicos da placa SAMR21. Apesar destas configurações não estarem disponíveis para este modelo, elas estavam para a placa SAMD21. Dessa forma, foram utilizados os arquivos destinados para a SAMD21 como base, e realizou-se a adaptação para a placa SAMR21, que é utilizada no projeto. Com a comunicação devidamente configurada, mais uma vez utilizou-se o ambiente IDE disponibilizado para determinar os pinos utilizados.

Devido a comunicação I2C, são necessários dois pinos para realizar a transferência dos dados. O primeiro, setado como o pino PN16, é a linha de dados serial. O segundo, definido como o pino PN17, é a linha de *clock* serial.

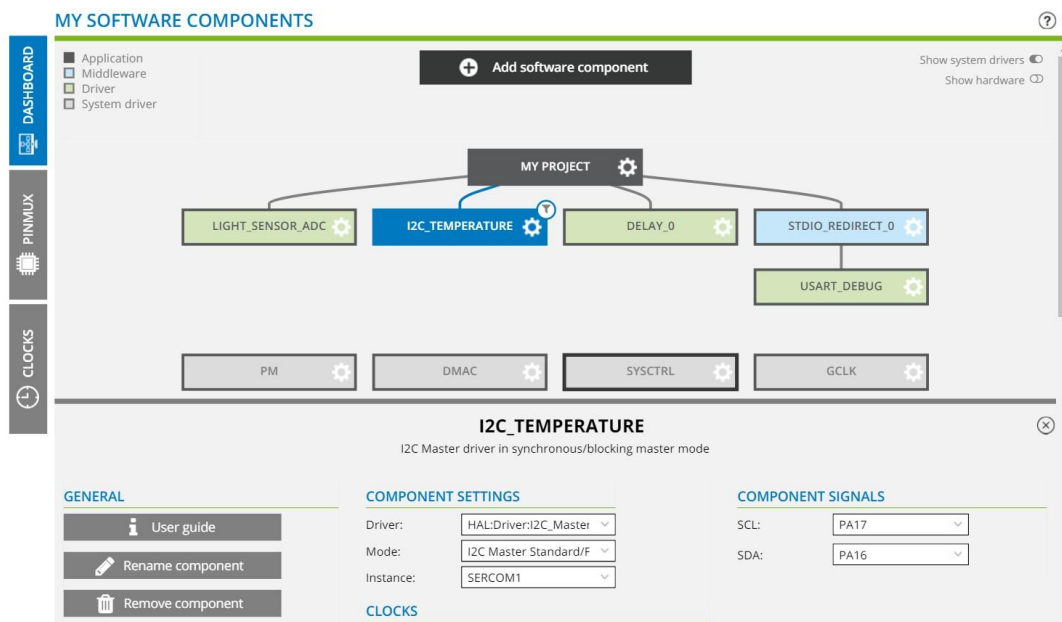


Imagem 09 - Ambiente IDE

Para obter o valor da temperatura em código, utiliza-se a função ‘GET_temperature_sensor()’. Diferente do caso anterior, todo condicionamento do sinal é feito automaticamente pelos componentes, e portanto não é preciso realizar a conversão do sinal digital para o valor correspondente de temperatura.

Para a implementação do sensor direcional, mais uma vez utiliza-se o ambiente IDE e as informações da documentação de *design* fornecidas. Primeiro, realiza-se a configuração da utilização dos LEDs da placa. Nota-se, pela documentação, que estes são dependentes somente do estado alto/baixo do pino correspondente, e portanto sua implementação é simples.

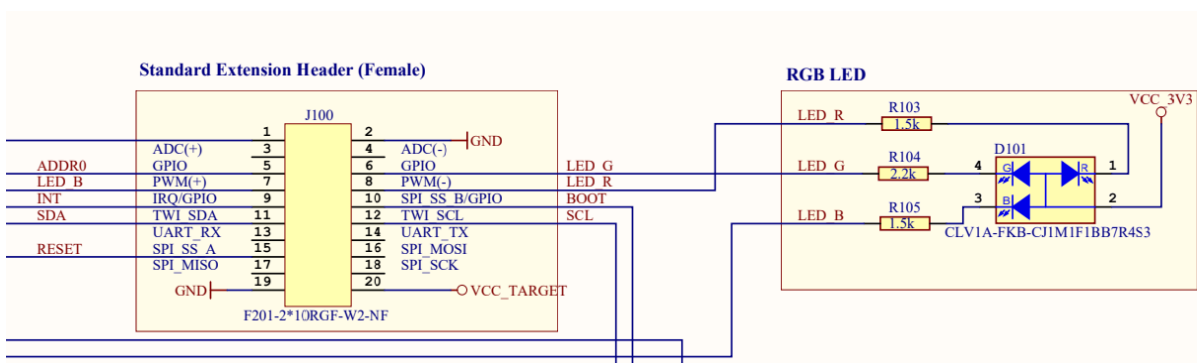


Imagem 10 - Documentação da Pinagem dos LEDs

Em seguida, de acordo com as informações de documentação, é preciso definir o tipo de comunicação que será utilizado. Como mencionado na seção anterior, é possível escolher entre I2C e SPI, de acordo com o nível dos pinos PS0 e PS1. Por padrão, a comunicação está definida como I2C.

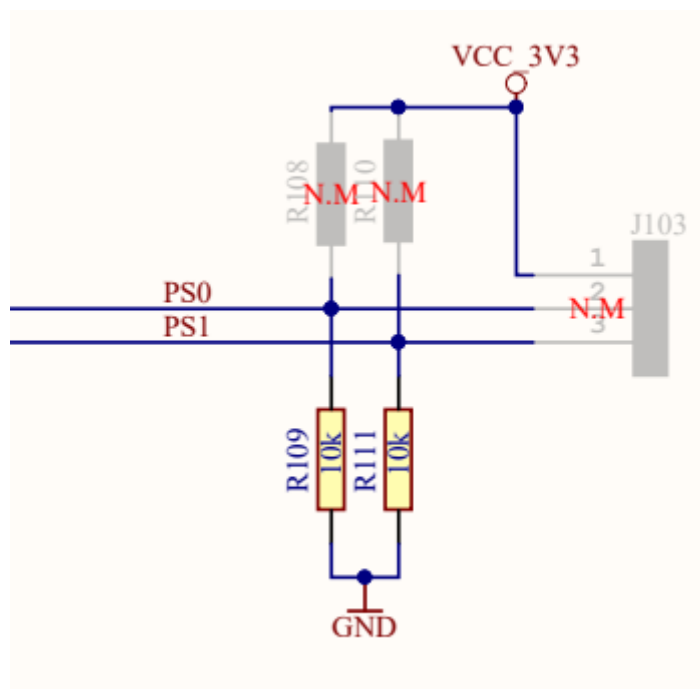


Imagem 11 - Definição em *Hardware* do Tipo de Comunicação

Para mudar esta configuração, seria necessário modificar o *hardware* do sensor, ao substituir a conexão existente entre os pinos e o GND através dos resistores R109 e R111, para uma conexão com VCC, que também requeria adicionar os resistores R108 e R110. Como não sabíamos se uma modificação física da placa era permitida, manteve-se a comunicação por I2C.

Para realizar a configuração do sensor através desta comunicação, adotou-se o mesmo procedimento utilizado para o sensor de temperatura, já que mais uma vez a SAMR21 não possui as configurações prontas, enquanto que a SAMD21 possui. Entretanto, não foi possível realizar a adaptação necessária para fazer a comunicação com a SAMR21, e portanto não conseguimos realizar a medição direcional utilizando os sensores do BNO055. Caso a comunicação venha a ser implementada corretamente, as configurações para o tratamento dos dados coletados já estariam prontas, e estes poderiam ser visualizados/transmitidos sem problemas.

Para testar se os dados coletados dos sensores estão corretos, foi implementada a comunicação por cabo USB entre a placa e o computador. Os resultados são mostrados na Figura abaixo. Ambos os sensores funcionam de acordo com o esperado, entretanto nota-se que o sensor de iluminância é limitado em sua operação, já que ele não identifica valores abaixo de um certo *threshold*. Dessa forma, seria mais útil utilizá-lo não para detectar um valor específico de LUX, mas sim para determinar se o ambiente está iluminado ou não.

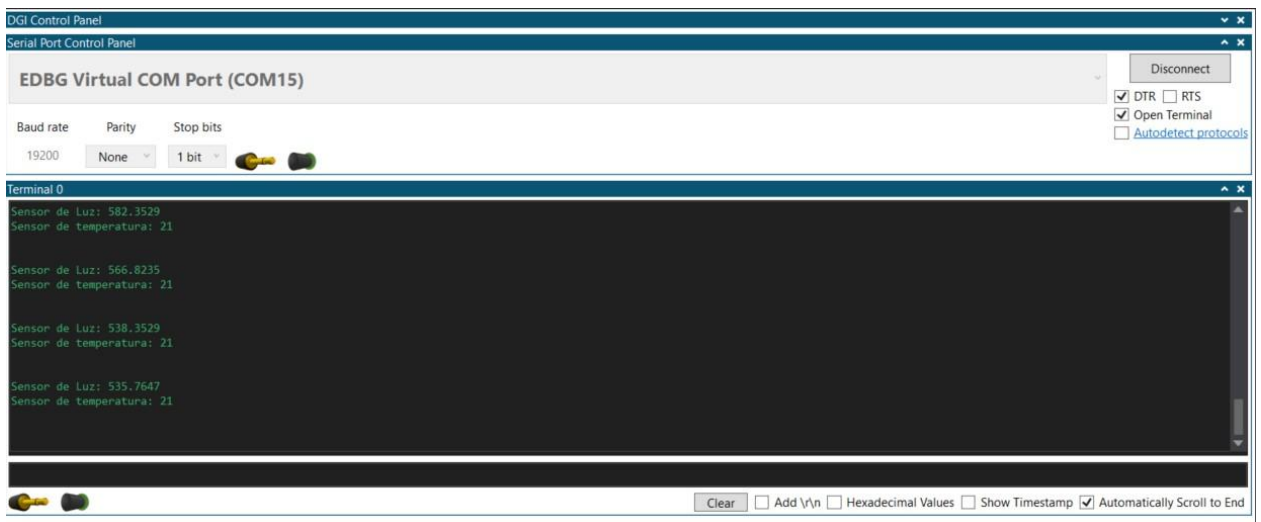


Imagem 12 - Dados dos Sensores Visualizados em Terminal

3.2. Comunicação de Rede

O OpenThread tem uma infraestrutura, que possibilita o desenvolvimento de redes de malha eficientes e confiáveis, com suporte para uma ampla gama de dispositivos conectados, com isso, foi utilizado um simulador para fazer a comunicação de Rede utilizando as bibliotecas OpenThread. Primeiramente através de um terminal linux realizamos o processo de “Building” do exemplo disponibilizado através do github “ot-samr21”, para obtermos o arquivo (“ot-cli-ftd”) necessário para realizar os seguintes procedimentos:

- Simulação de uma rede Thread:

Essa etapa foi criada uma rede no OpenThread onde foi possível fazer algumas simulações junto ao software Docker e o sistema operacional Linux Ubuntu 18.04.6. Após a criação dessa rede os dispositivos utilizados foram conectados e verificados.

- Autenticação de nós com comissionamento:

Neste segundo passo, foi necessário utilizar Commissioner que é o servidor de autenticação escolhido para novos dispositivos Thread. Pois, para que haja tráfego entre o IPv6 global entre os dispositivos e a Internet usando um roteador de borda do Thread é necessário que os nós sejam autenticados.

Para realizar esta autenticação um dispositivo precisa funcionar como um comissário, onde o utilizador fornece as credenciais de rede necessárias para que os dispositivos participem da rede.

O arquivo “ot-cli-ftd” pode ser encontrado através no repositório na pasta main e os logs de simulação na pasta main/network_simulation_tests. A seguir podemos observar os testes realizados no terminal linux(simulação):

```

See 'docker run --help'.
lucas@lucas:~$ sudo docker run --name codelab_otsim_ctr -it --rm \--sysctl net.ipv6.conf.all.disable_ipv6=0 \--cap-add=net_admin openthread/environment bash
root@51bb17d041fd:/# /openthread/build/examples/apps/cli/ot-cli-ftd 1
> dataset init new
Done
> dataset
Active Timestamp: 1
Channel: 26
Channel Mask: 0x0fff800
Ext PAN ID: 5c907b36da54529
Mesh Local Prefix: fdff:2fd1:e68:2fe::/64
Network Key: b143b51c869cd09b630044f0e202148
Network Name: OpenThread-2852
PAN ID: 0x2852
PSKc: 16071bc11bf66081dcaee36e4d3e6
Security Policy: 072 onrc 0
> dataset commit active
Done
> ifconfig up
Done
> thread start
Done
> state
leader
> ipaddr
fdff:2fd1:e68:2fe:0:ff:fe00:fc00
fdff:2fd1:e68:2fe:0:ff:fe00:0
fdff:2fd1:e68:2fe:1024:4d2:2719:beb5
fe80:0:0:0:f818:7038:d77:b7fd
Done
> state
leader
Done
> router table


| ID | RLOC16 | Next Hop | Path Cost | LQ In | LQ Out | Age | Extended MAC     | Link |
|----|--------|----------|-----------|-------|--------|-----|------------------|------|
| 0  | 0x0000 | 63       | 0         | 0     | 0      | 0   | fa1870380d77b7fd | 0    |
| 43 | 0xacc0 | 63       | 0         | 3     | 3      | 7   | 52b8fac082561ce2 | 1    |


Done
> thread stop
Done
> state
disabled
Done
>

```

```

Done
> dataset commit active
Done
> ifconfig up
Done
> thread start
Done
> state
Error 35: InvalidCommand
> state
child
Done
> state
router
Done
> rloc16
0x000
Done
> ping fdff:2fd1:e68:2fe:1024:4d2:2719:beb5
16 bytes from fdff:2fd1:e68:2fe:1024:4d2:2719:beb5: icmp_seq=1 hlim=64 time=3ms
1 packets transmitted, 1 packets received. Packet loss = 0.0%. Round-trip min/avg/max = 3/3.0/3 ms.
Done
> state
router
Done
> state
router
Done
> state
Error 35: InvalidCommand
> state
router
Done
> ping fdff:2fd1:e68:2fe:1024:4d2:2719:beb5
Error 35: InvalidCommand
> ping fdff:2fd1:e68:2fe:1024:4d2:2719:beb5
Error 35: InvalidCommand
> ping fdff:2fd1:e68:2fe:1024:4d2:2719:beb5
1 packets transmitted, 0 packets received. Packet loss = 100.0%.
Done
> state
Error 35: InvalidCommand
> state
leader
Done
>

```

Imagem 13 - Execução da simulação de uma rede Thread.

- Execução da comunicação:

A partir da simulação, realizamos o processo de “Flash Binaries” para o hardware através do Microchip Studio, onde foi possível executar os testes a seguir:

```
Terminal Window
Disconnect COM4 Baud: 115200 ASCII [X] [X] [ ] Save to file Options

Receive
etached
Done
stat
state
child
Done
state
child
Done
state
router
Done
rloc16
d000
Done
ping fdfb:e56:49bf:7ede:51df:a491:a37:624b
16 bytes from fdfb:e56:49bf:7ede:51df:a491:a37:624b: icmp_seq=1 hlim=64 time=70ms
1 packets transmitted, 1 packets received. Packet loss = 0.0%. Round-trip min/avg/max = 70/70.0/70 ms.
Done
fdfb:e56:49bf:7ede:51df:a491:a37:624b
Error 35: InvalidCommand
[Dping fdfb:e56:49bf:7ede:51df:a491:a37:624b
Error 35: InvalidCommand
[D
Error 35: InvalidCommand
ping fdfb:e56:49bf:7ede:51df:a491:a37:624b
16 bytes from fdfb:e56:49bf:7ede:51df:a491:a37:624b: icmp_seq=2 hlim=64 time=26ms
1 packets transmitted, 1 packets received. Packet loss = 0.0%. Round-trip min/avg/max = 26/26.0/26 ms.
Done
ipaddr
fdfb:e56:49bf:7ede:0:ff:fe00:d000
fdfb:e56:49bf:7ede:cb0f:94d:5c3e:5c8b
fe80:0:0:f442:eec3:695c:250
Done
state
router
Done
state
router
Done
state
router
state

Send History
dataset networkkey e2159032089d919f837747e81ce3ce28
dataset panid 0x30a8
dataset commit active
ifconfig up
thread start
state
state
state
state
state
rloc16
ping fdfb:e56:49bf:7ede:51df:a491:a37:624b
fdfb:e56:49bf:7ede:51df:a491:a37:624b
ping fdfb:e56:49bf:7ede:51df:a491:a37:624b

ping fdfb:e56:49bf:7ede:51df:a491:a37:624b
ipaddr
state
state
state

Send
Porta de comunicação (COM1)
```

Imagem 14 - Execução da simulação de uma rede Thread Nó 1.

```
Terminal Window
Disconnect COM6 Baud: 115200 ASCII [X] [X] [ ] Save to file Options

Receive

Done
state
leader
Done
dataset
Active Timestamp: 1
Channel: 18
Channel Mask: 0x07fff800
Ext PAN ID: 5b9c09e1c790d906
Mesh Local Prefix: fdfe:e56:49bf:7ede::/64
Network Key: e2159032089d919f837747e81ce3ce28
Network Name: OpenThread-30a8
PAN ID: 0x30a8
PSKc: 0c10fedb0afdbb8b49dcef4dc7a64cac
Security Policy: 672 onrc
Done
router table
+-----+-----+-----+-----+-----+-----+-----+-----+-----+
| ID | RLOC16 | Next Hop | Path Cost | LQ In | LQ Out | Age | Extended MAC | Link |
+-----+-----+-----+-----+-----+-----+-----+-----+-----+
| 0 | 0x0000 | 63 | 0 | 0 | 0 | 0 | 0ef2a473d366cfd | 0 |
| 52 | 0xd000 | 63 | 0 | 3 | 3 | 80 | f642eec3695c0250 | 1 |
+-----+-----+-----+-----+-----+-----+-----+-----+-----+
Done
[Dping fdfe:e56:49bf:7ede:cb0f:94d:5c3e:5c8b
Error 35: InvalidCommand
ping fdfe:e56:49bf:7ede:cb0f:94d:5c3e:5c8b
16 bytes from fdfe:e56:49bf:7ede:cb0f:94d:5c3e:5c8b: icmp_seq=1 hlim=64 time=45ms
45/45.0/45 ms.
Done
thread stop
Done
>
```

```
Send History
dataset init new
dataset commit active
ifconfig up
thread start
state
ipaddr
state
dataset
router table
ping fdfe:e56:49bf:7ede:cb0f:94d:5c3e:5c8b
ping fdfe:e56:49bf:7ede:cb0f:94d:5c3e:5c8b
thread stop
```

```
Send
```

Imagem 15 - Execução da simulação de uma rede Thread Nó 2.

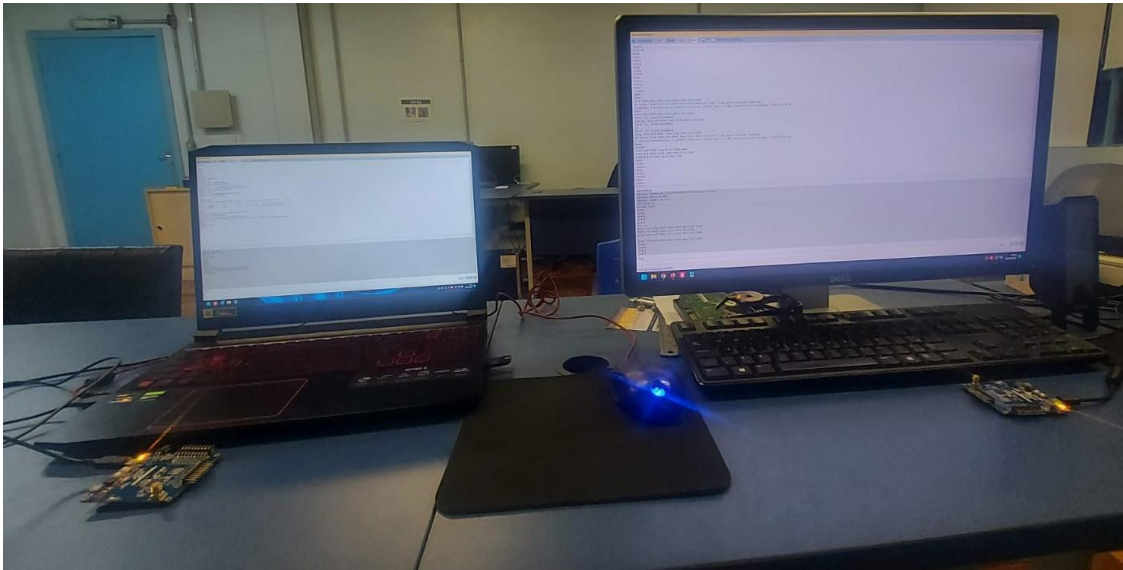


Imagem 16 - Execução da simulação de uma rede no hardware SAM R21 Xplorer Pro.

4. CONCLUSÃO

A equipe HAL trabalhou na portabilidade do projeto para a plataforma SAM R21 Xplorer Pro. A plataforma SAM R21 Xplorer Pro é uma placa de desenvolvimento baseada no microcontrolador SAM R21 da Microchip Technology. Foi realizada a adaptação do código da aplicação para que ele pudesse ser executado com sucesso na plataforma SAM R21 Xplorer Pro.

Durante o desenvolvimento houve modificações nos drivers de hardware, configurações de pinos, otimizações de desempenho e outras tarefas necessárias para garantir a compatibilidade e a funcionalidade adequada, porém o resultado final não foi como esperado.

Na parte de teste dos sensores houve um avanço significativo, conforme documentação disponível no repositório. O sensor de iluminação apresentou certa facilidade em sua implementação, porém o sensor de temperatura apresentou um nível de complexidade maior.

Quanto a comunicação foi realizada a simulação de uma rede Thread utilizando o OpenThread, como resultado obtido foi possível dar ping entre os dispositivos utilizados e a obtenção dos pacotes enviados, além disso, foi possível visualizar os dispositivos na tabela da rede.

Portanto, a execução desse projeto foi bem desafiadora e exigiu muito tempo de pesquisa e testes, apesar dos objetivos não serem alcançados na sua totalidade o trabalho se mostra promissor para eventuais consultas e melhoramentos. Em relação ao conhecimento adquirido acredita-se que com as trocas de experiências houve a concretude da aprendizagem além de ter sido uma boa experiência em como trabalhar e desenvolver projetos de modo colaborativo.

5. REFERÊNCIAS

- [1]. Repositório Github.
<https://github.com/llucasroot/ot-rtos_elc1048>.
- [2]. Repositório OpenThread RTOS.
<<https://github.com/openthread/ot-rtos>>.
- [3]. Projeto de Sistemas Embarcados. Moodle UFSM.
<https://ead06.proj.ufsm.br/pluginfile.php/4022753/mod_resource/content/1/AULA_TDD.pdf>.
- [4]. Repositório OpenThread on SAMR21 Example.
<<https://github.com/openthread/ot-samr21>>.
- [5]. Software Microchip.
<https://www.microchip.com/en-us/tools-resources#xplained_pro>.
- [6]. Arm GNU Toolchain.
<<https://developer.arm.com/Tools%20and%20Software/GNU%20Toolchain>>.
- [7]. Arm GNU Toolchain.
<<https://www.microchip.com/en-us/tools-resources/develop/libraries/advanced-software-framework>>.
- [8]. OpenThread.
<<https://openthread.io/?hl=pt-br>>.